

**Corso di laurea in Matematica - Anno Accademico 2007/2008**  
**FM1 - Equazioni differenziali e meccanica**

TUTORATO XII - LIVIA CORSI (23-05-2008)

SOLUZIONI DEGLI ESERCIZI

---

ESERCIZIO 1.

**1.1. Trasformazione rigida.** L'origine  $O'$  del sistema di riferimento mobile oscilla lungo la parabola  $y = y(x) = x^2$  con legge  $x_{O'}(t) = \sin t$ . Quindi  $y_{O'}(t) = \sin^2 t$  e il vettore  $\mathbf{r}$  che individua  $O'$  nel sistema di riferimento fisso è dato da

$$\mathbf{r} = \mathbf{r}(t) = (\sin t, \sin^2 t, 0).$$

L'angolo  $\theta(t)$  che l'asse  $\xi$  del sistema mobile forma con l'asse  $x$  del sistema fisso è tale che

$$\tan \theta(t) = \frac{dy}{dx}(x_{O'}(t)) = 2 \sin t,$$

quindi  $C$  è la traslazione di  $\mathbf{r}$  e  $B$  è la rotazione di  $\theta(t)$  intorno all'asse  $z$ , i.e.

$$B = B(t) = \begin{pmatrix} \cos \theta(t) & -\sin \theta(t) & 0 \\ \sin \theta(t) & \cos \theta(t) & 0 \\ 0 & 0 & 1 \end{pmatrix}.$$

con  $\theta(t) = \arctan 2 \sin t$ .

**1.2. Soluzione dell'equazione del moto.** Nel sistema mobile si ha

$$\mathbf{Q}(t) = (t, 0, 0),$$

per ipotesi. Quindi nel sistema fisso

$$\mathbf{q}(t) = B(t)\mathbf{Q}(t) + \mathbf{r}(t) = \begin{pmatrix} \cos \theta(t) & -\sin \theta(t) & 0 \\ \sin \theta(t) & \cos \theta(t) & 0 \\ 0 & 0 & 1 \end{pmatrix} \begin{pmatrix} t \\ 0 \\ 0 \end{pmatrix} + \begin{pmatrix} \sin t \\ \sin^2 t \\ 0 \end{pmatrix} = \begin{pmatrix} t \cos \theta(t) + \sin t \\ t \sin \theta(t) + \sin^2 t \\ 0 \end{pmatrix},$$

quindi

$$\mathbf{q}(t) = (t \cos \theta(t) + \sin t, t \sin \theta(t) + \sin^2 t, 0).$$

**1.3. Velocità assoluta.** Si ha

$$\mathbf{v} = \dot{\mathbf{q}} = \left( \cos \theta(t) - t \sin \theta(t) \dot{\theta}(t) + \cos t, \sin \theta(t) + t \cos \theta(t) \dot{\theta}(t) + 2 \sin t \cos t, 0 \right),$$

dove

$$\dot{\theta}(t) = \frac{2 \cos t}{1 + 4 \sin^2 t}.$$

**1.4. Velocità relativa.** Si ha

$$\mathbf{v}' = B(t)\dot{\mathbf{Q}}(t) = (\cos \theta(t), \sin \theta(t), 0),$$

poiché  $\dot{\mathbf{Q}}(t) = (1, 0, 0)$ .

**1.5. Componente traslatoria della velocità di trascinamento.** Si ha

$$\mathbf{v}_0 = \dot{\mathbf{r}}(t) = (\cos t, 2 \sin t \cos t, 0).$$

**1.6. Componente rotatoria della velocità di trascinamento.** Si ha

$$\mathbf{v}_T = [\boldsymbol{\omega}(t), \mathbf{q}(t) - \mathbf{r}(t)] = \det \begin{pmatrix} \mathbf{e}_x & \mathbf{e}_y & \mathbf{e}_z \\ 0 & 0 & \dot{\theta}(t) \\ t \cos \theta(t) & t \sin \theta(t) & 0 \end{pmatrix} = (-t \sin \theta(t) \dot{\theta}(t), t \cos \theta(t) \dot{\theta}(t), 0),$$

ed è immediato verificare che  $\mathbf{v}' + \mathbf{v}_0 + \mathbf{v}_T = \mathbf{v}$ .

**1.7. Forza di Coriolis.** Dalla definizione di forza di Coriolis si ha

$$\mathbf{F}_{\text{Cor}} = -2m[\boldsymbol{\Omega}, \dot{\mathbf{Q}}] = -2 \det \begin{pmatrix} \mathbf{e}_\xi & \mathbf{e}_\eta & \mathbf{e}_\zeta \\ 0 & 0 & \dot{\theta}(t) \\ 1 & 0 & 0 \end{pmatrix} = (0, -2\dot{\theta}(t), 0),$$

dove si è usato che  $m = 1$ .

**1.8. Forza centrifuga.** Si ha

$$[\boldsymbol{\Omega}, \mathbf{Q}] = \det \begin{pmatrix} \mathbf{e}_\xi & \mathbf{e}_\eta & \mathbf{e}_\zeta \\ 0 & 0 & \dot{\theta}(t) \\ t & 0 & 0 \end{pmatrix} = (0, t\dot{\theta}(t), 0),$$

e quindi dalla definizione di forza centrifuga

$$\mathbf{F}_{\text{cf}} = -m[\boldsymbol{\Omega}, [\boldsymbol{\Omega}, \mathbf{Q}]] = -\det \begin{pmatrix} \mathbf{e}_\xi & \mathbf{e}_\eta & \mathbf{e}_\zeta \\ 0 & 0 & \dot{\theta}(t) \\ 0 & t\dot{\theta}(t) & 0 \end{pmatrix} = (t\dot{\theta}^2(t), 0, 0).$$

**1.9. Tempi di attraversamento.** La traiettoria  $t \rightarrow \mathbf{q}(t) = (x(t), y(t), 0)$  attraversa l'asse  $x$  per  $t$  tale che  $y(t) = 0$ . Si ha

$$y(t) = t \sin \theta(t) + \sin^2 t, \quad \sin \theta(t) = \frac{\tan \theta(t)}{\sqrt{1 + \tan^2 \theta(t)}} = \frac{2 \sin t}{\sqrt{1 + 4 \sin^2(t)}},$$

quindi  $y(t) = 0$  diventa

$$\sin t \left( \frac{2t}{\sqrt{1 + 4 \sin^2 t}} + \sin t \right) = 0.$$

Poiché  $1 \leq 1 + 4 \sin^2(t) \leq 5$ , e quindi

$$\frac{2t}{\sqrt{5}} \leq \frac{2t}{\sqrt{1 + 4 \sin^2 t}} \leq 2t,$$

mentre  $|\sin t| \leq 1$ , la funzione

$$\frac{2t}{\sqrt{1 + 4 \sin^2 t}} + \sin t$$

non si annulla mai, e quindi  $y(t) = 0$  se e solo se  $\sin t = 0$ . La funzione  $\sin t$  si annulla infinite volte, ogni qual volta si abbia  $t = t_k = \pi k$ , con  $k \in \mathbb{Z}$ . Quindi i tempi di attraversamento sono dati dai tempi della successione  $\{t_k\}$ .

---

### ESERCIZIO 2.

**2.1. Grafico dell'energia potenziale per  $\alpha = 0$ .** Per  $\alpha = 0$  l'energia potenziale diventa

$$V(x) = \frac{2}{3}x^3 - 2\beta x.$$

Si ha

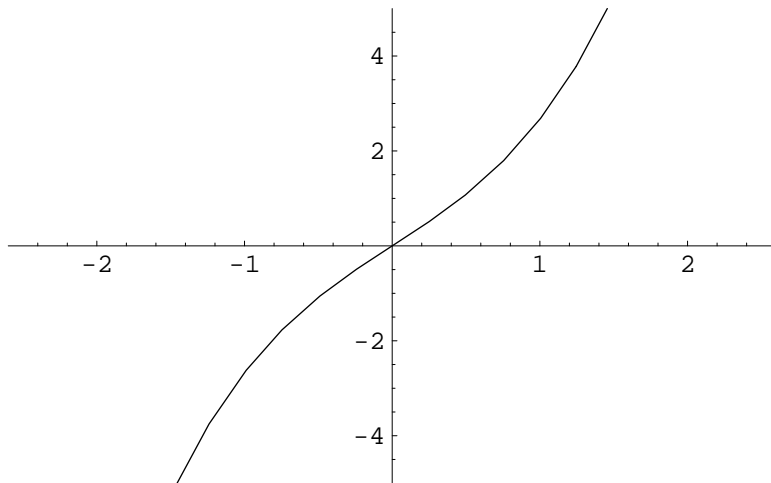
$$V'(x) = 2x^2 - 2\beta, \quad V''(x) = 4x,$$

così che si ha  $V'(x) = 0$  per  $x^2 = \beta$ . Quindi se  $\beta > 0$  si hanno due punti stazionari  $x = \pm x_\beta$ , dove  $x_\beta = \sqrt{\beta}$ , se  $\beta = 0$  si ha un solo punto stazionario  $x = 0$  e se  $\beta < 0$  non si hanno punti stazionari. Inoltre se  $\beta > 0$  si ha  $V''(x_\beta) = 4\sqrt{\beta} > 0$  e  $V''(-x_\beta) = -4\sqrt{\beta} < 0$ : quindi  $x = x_\beta$  è un punto di minimo e  $x = -x_\beta$  è un punto di massimo. Notando che  $V(0) = 0$  si può dedurre che  $-V(x_\beta) > 0$  e  $V(x_\beta) < 0$ . Inoltre si ha

$$\lim_{x \rightarrow \pm\infty} V(x) = \pm\infty,$$

indipendentemente da  $\beta$ . Infine  $V'(x) > 0$  per ogni  $x$  se  $\beta < 0$  e per ogni  $x \neq 0$  se  $\beta = 0$ . Se  $\beta = 0$  si ha  $V''(0) = 0$ , quindi in tale caso  $x = 0$  è un punto di flesso orizzontale.

Quindi il grafico dell'energia potenziale è come rappresentato in Figura 1 per  $\beta < 0$ , in Figura 2 per  $\beta = 0$  e in Figura 3 per  $\beta > 0$ .

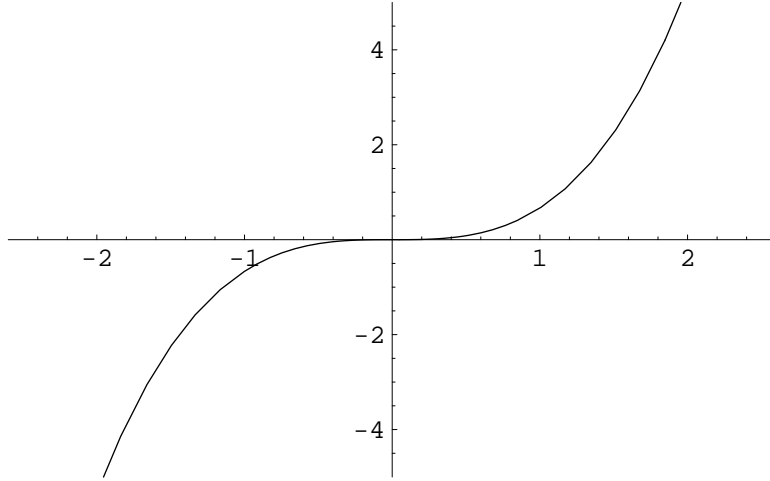


**Figura 1.** Grafico dell'energia potenziale  $V(x)$  per  $\alpha = 0$  e  $\beta < 0$ .

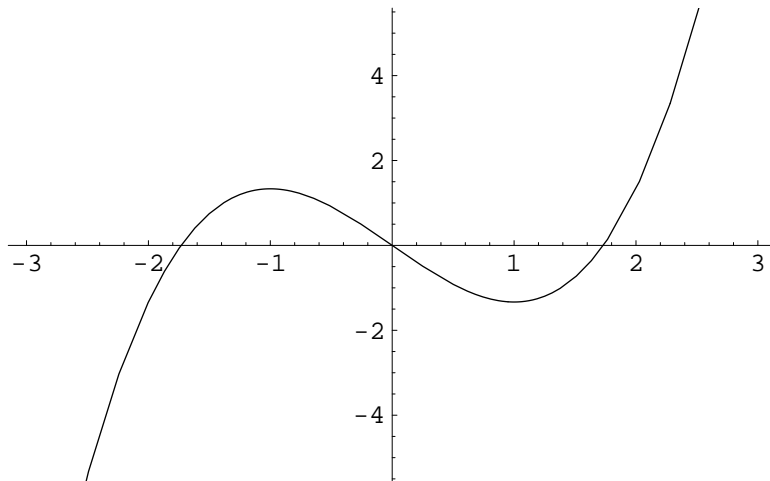
**2.2. Punti d'equilibrio per  $\alpha = 0$ .** Il sistema dinamico associato al sistema meccanico unidimensionale dato è

$$\begin{cases} \dot{x} = my, \\ \dot{y} = -V'(x), \end{cases}$$

quindi i punti d'equilibrio corrispondenti sono i punti  $(x_0, 0)$ , con  $V'(x_0) = 0$ .



**Figura 2.** Grafico dell'energia potenziale  $V(x)$  per  $\alpha = 0$  e  $\beta = 0$ .



**Figura 3.** Grafico dell'energia potenziale  $V(x)$  per  $\alpha = 0$  e  $\beta > 0$ .

Se  $\beta < 0$  non ci sono punti d'equilibrio. Se  $\beta = 0$  c'è il solo punto d'equilibrio  $(0, 0)$ . Se  $\beta > 0$  avremo due punti d'equilibrio:  $(x_\beta, 0)$  e  $(-x_\beta, 0)$ .

**2.3. Stabilità dei punti d'equilibrio per  $\alpha = 0$ .** Per  $\beta = 0$  il punto d'equilibrio  $(0, 0)$  è un punto d'equilibrio instabile perché corrisponde a un punto di flesso orizzontale.

Per  $\beta > 0$  il punto d'equilibrio  $(x_\beta, 0)$  è un punto d'equilibrio stabile, per il teorema di Dirichlet (dal momento che corrisponde a un punto di minimo isolato per l'energia potenziale), mentre  $(-x_\beta, 0)$  è un punto d'equilibrio instabile perché corrisponde a un punto di massimo.

**2.4. Analisi qualitativa per  $\alpha = 0$ .** Studiamo le curve di livello

$$\Gamma_E = \left\{ (x, y) \in \mathbb{R}^2 : \frac{1}{2}my^2 + V(x) = E \right\}$$

dell'energia del sistema. Se definiamo

$$F(x) = \sqrt{\frac{2}{m}(E - V(x))},$$

in modo da poter riscrivere

$$\Gamma_E = \left\{ (x, y) \in \mathbb{R}^2 : y = \pm F(x) \right\},$$

si ha

$$F'(x) = \sqrt{\frac{6}{m}} \frac{\beta - x^2}{\sqrt{3E + 6\beta x - 2x^3}},$$

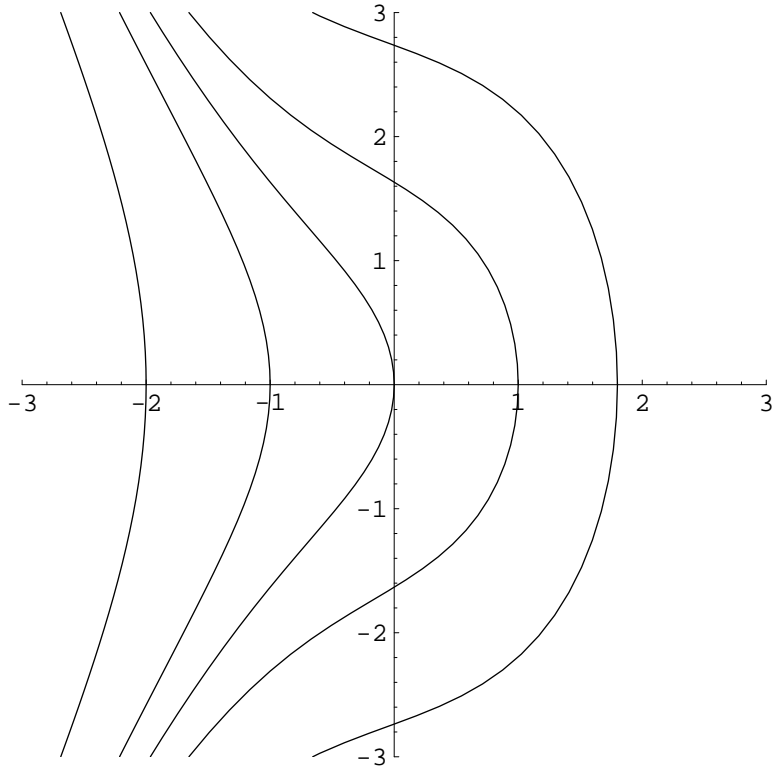
$$F''(x) = \sqrt{\frac{6}{m}} \frac{-3\beta^2 - 6Ex - 6\beta x^2 + x^4}{(3E + 6\beta x - 2x^3)^{3/2}}.$$

Poiché  $\Gamma_E$  è simmetrica rispetto all'asse  $x$ , è sufficiente studiarla nel semipiano superiore  $y \geq 0$ . Inoltre i versi di percorrenza delle orbite saranno, in tale semipiano, sempre da sinistra a destra poiché  $\dot{x} = my \geq 0$ .

Dai grafici delle Figure 1÷3 vediamo che, per ogni valore di  $\beta$ ,  $\Gamma_E \neq \emptyset$  per ogni valore di  $E \in \mathbb{R}$ .

Distinguiamo i casi  $\beta < 0$ ,  $\beta = 0$  e  $\beta > 0$ .

Per  $\beta < 0$  si ha la situazione rappresentata in Figura 4. Infatti per  $\beta < 0$  si ha  $F'(x) < 0$ , quindi  $F(x)$  è strettamente decrescente per ogni valore di  $E$ . Inoltre per ogni valore fissato di  $E$  la funzione  $F(x)$  è definita per  $x \leq x_E$ , dove  $x_E$  è l'unica radice di  $E - V(x) = 0$ . In  $x = x_E$  si ha  $F'(x_E) = -\infty$ , quindi la curva di livello  $\Gamma_E$  in  $x = x_E$  ha tangente verticale. Inoltre  $F(x) \sim \text{const.}x^{3/2}$  per  $x \rightarrow -\infty$ , quindi poiché  $F(x)$  è concava per  $x \rightarrow 0$  e convessa per  $x \rightarrow -\infty$  deve esserci almeno un punto in cui la funzione cambia concavità.



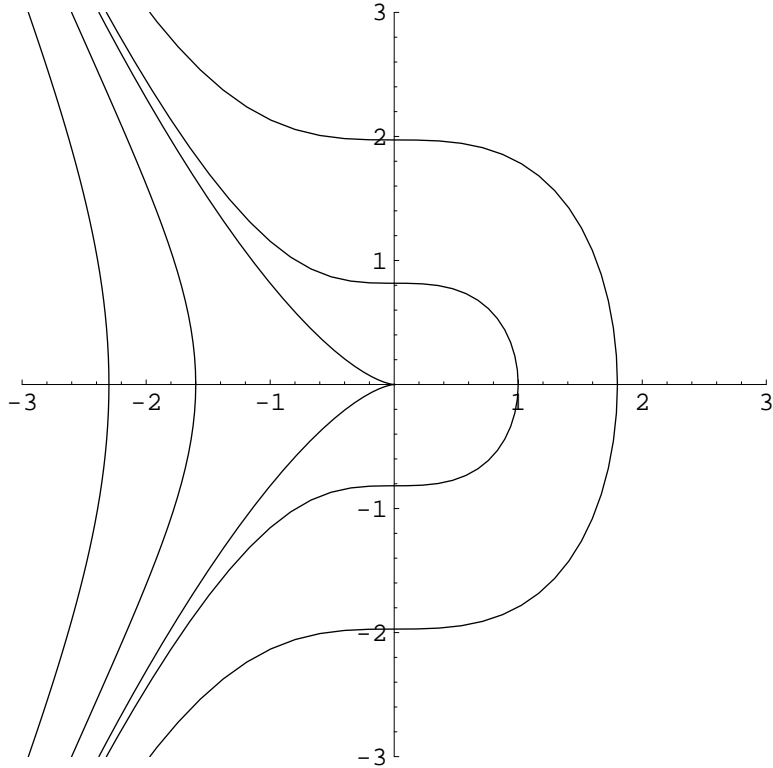
**Figura 4.** Piano delle fasi per  $\alpha = 0$  e  $\beta < 0$ .

Per  $\beta = 0$  si ha la situazione rappresentata in Figura 5. In tal caso per ogni valore di  $E \neq 0$  si ha  $F'(x) < 0$  tranne che per  $x = 0$  dove  $F'(0) = 0$ ; inoltre, definendo di nuovo  $x_E$  l'unica radice di  $E - V(x) = 0$ , per  $E \neq 0$  si ha che  $F(x)$  è definita per  $x \leq x_E$ ,  $F'(x) < 0$  per  $x \neq x_E$  e  $F'(x_E) = -\infty$ .

Il caso  $E = 0$  va discusso a parte perché per determinare il valore di  $F'(x)$  in  $x = x_E = x_0 = 0$  si deve tener conto che, in tal caso, per  $x = 0$  si annullano sia il numeratore sia il denominatore di  $F'(x)$ . Si ha

$$\lim_{x \rightarrow 0^-} \frac{x^2}{\sqrt{3E + 6\beta x - 2x^3}} = \lim_{x \rightarrow 0^-} \frac{x^2}{\sqrt{-2x^3}} = \lim_{x \rightarrow 0^-} |x|^{1/2} = 0,$$

quindi la derivata di  $F(x)$  si annulla in  $x = 0$ , i.e. la funzione  $F(x)$  ha tangente orizzontale in  $x = 0$ , ovvero  $\Gamma_0$  forma una cuspide in  $x = 0$ .



**Figura 5.** Piano delle fasi per  $\alpha = 0$  e  $\beta = 0$ .

Per  $\beta > 0$  si ha la situazione rappresentata in Figura 6. In tal caso, infatti, per disegnare le curve di livello dobbiamo distinguere i casi (i)  $E < E_1$ , (ii)  $E = E_1$ , (iii)  $E_1 < E < E_2$ , (iv)  $E = E_2$  e (v)  $E > E_2$ , dove  $E_1 = V(x_\beta)$  ed  $E_2 = V(-x_\beta)$ .

Caso (i). Per  $E < E_1$  l'equazione  $E - V(x) = 0$  ha una sola radice  $x = x_E$ , e risulta  $\Gamma_E = \gamma_E$ , dove la  $\gamma_E$  definisce una curva aperta con grafico  $x \rightarrow \pm F(x)$ , definita per  $x \leq x_E$ , tale che  $F(x)$  è strettamente decrescente e interseca l'asse  $x$  in  $x = x_E$  con tangente verticale.

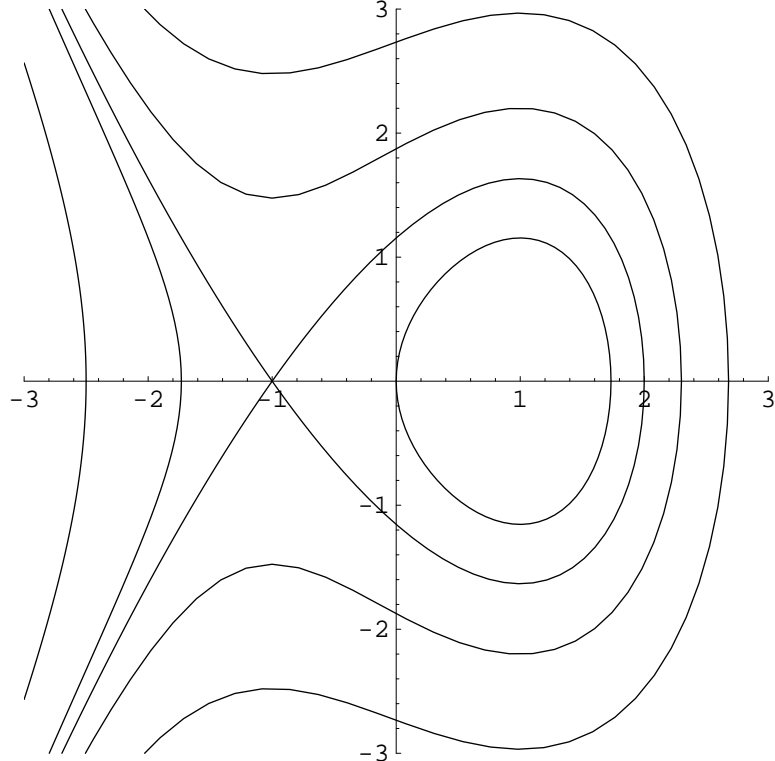
Caso (ii). Per  $E = E_1$  si ha  $\Gamma_{E_1} = \gamma_{E_1} \cup \{(x_\beta, 0)\}$ , dove  $\gamma_{E_1}$  è qualitativamente simile alle curve  $\gamma_E$  del caso (i), mentre  $(x_\beta, 0)$  è il punto d'equilibrio stabile.

Caso (iii). Per  $E \in (E_1, E_2)$  l'equazione  $E - V(x) = 0$  ammette tre radici distinte  $x_E < x_E^1 < x_E^2$ . Si ha allora  $\Gamma_E = \gamma_E \cup \delta_E$ , dove  $\gamma_E$  è di nuovo qualitativamente simile ai casi precedenti, mentre  $\delta_E$  è una curva chiusa che interseca l'asse  $x$  nei due punti  $x_E^1$  e  $x_E^2$ . Tale curva è una curva regolare simmetrica rispetto all'asse  $x$ : in particolare la tangente alla curva in  $x = x_E^1$  e in  $x = x_E^2$  è verticale, e in  $x = x_\beta$  è orizzontale. La traiettoria che ha supporto in  $\delta_E$  è periodica.

Caso (iv). Per  $E = E_2$  la curva di livello  $\Gamma_E$  rappresenta una separatrice costituita da 4 orbite distinte: il punto d'equilibrio instabile  $(-x_\beta, 0)$ , un'orbita omoclinica definita per  $-x_\beta < x < x_{E_2}'$  (se  $x_{E_2}' < -x_\beta$ ) e  $-x_\beta < x < x_{E_2}$  (se  $x_{E_2} < -x_\beta$ ).

rappresentano le due radici dell'equazione  $E - V(x) = 0$ ) e due orbite definite per  $x < -x_\beta$ , e asintotiche al punto d'equilibrio instabile (nel futuro quella nel semipiano superiore e nel passato quella nel semipiano inferiore). La tangente alla curva  $F(x)$  in  $x = -x_\beta$  è obliqua poiché  $V''(-x_\beta) \neq 0$ .

Caso (v). Per  $E > E_2$  se definiamo  $x_E$  l'unica radice di  $E - V(x) = 0$  si ha che la funzione  $F(x)$  è definita per  $x \leq x_E$ . Inoltre  $F'(x) > 0$  per  $|x| < \sqrt{\beta}$ , i.e. per  $-x_\beta < x < x_\beta$ ,  $F'(x) = 0$  per  $x = \pm x_\beta$  e  $F'(x) < 0$  altrimenti. In particolare  $F'(x_E) = -\infty$ , mentre  $F'(x)$  è finita per ogni altro valore di  $x$ .



**Figura 6.** Piano delle fasi per  $\alpha = 0$  e  $\beta > 0$ .

**2.5. Discussione del caso  $\alpha > 0$ .** Per  $\alpha \neq 0$  l'energia potenziale è

$$V(x) = \frac{\alpha}{5}x^5 + \frac{2}{3}x^3 - 2\beta x.$$

Si ha quindi

$$V'(x) = \alpha x^4 + 2x^2 - 2\beta, \quad V''(x) = 4\alpha x^3 + 4x = 4x(\alpha x^2 + 1),$$

così che si ha  $V'(x) = 0$  per

$$x^2 = \frac{-1 \pm \sqrt{1+2\alpha\beta}}{\alpha}.$$

Se  $\alpha > 0$  si deve avere  $\sqrt{1+2\alpha\beta} \geq 1$  perché almeno uno dei due valori sia positivo, quindi  $2\alpha\beta \geq 0$ , ovvero  $\beta \geq 0$ .

Possiamo concludere che per  $\alpha > 0$  si hanno punti stazionari solo se  $\beta \geq 0$ , nel qual caso si deve prendere solo la determinazione positiva  $x^2 = (\sqrt{1+2\alpha\beta} - 1)/\alpha$ , che dà

$$\begin{cases} \text{per } \beta = 0 & \Rightarrow \quad x = 0, \\ \text{per } \beta > 0 & \Rightarrow \quad x = \pm x_0, \quad x_0 = \sqrt{\frac{\sqrt{1+2\alpha\beta} - 1}{\alpha}}, \end{cases}$$

mentre per  $\beta < 0$  non si hanno punti stazionari.

Inoltre si ha

$$\lim_{x \rightarrow \pm\infty} V(x) = \pm\infty,$$

indipendentemente da  $\beta$ . Infine  $V'(x) > 0$  per ogni  $x$  se  $\beta < 0$  e per ogni  $x \neq 0$  se  $\beta = 0$ . Se  $\beta > 0$ , tenendo conto degli andamenti asintotici di  $V(x)$ , possiamo concludere che  $x = -x_0$  è un punto di massimo e  $x = x_0$  è un punto di minimo.

Quindi la situazione è molto simile al caso  $\alpha = 0$ , e i grafici dell'energia potenziale  $V(x)$  sono qualitativamente simili a quelli rappresentati in Figura 1 per  $\beta < 0$ , in Figura 2 per  $\beta = 0$  e in Figura 3 per  $\beta > 0$ . In maniera analoga, anche l'analisi qualitativa del sistema può essere discussa come nel caso  $\alpha = 0$ , e qualitativamente si trovano orbite come rappresentate in Figura 4 per  $\beta < 0$ , in Figura 5 per  $\beta = 0$  e in Figura 6 per  $\beta > 0$ .

---

### ESERCIZIO 3.

**3.1. Equazione del moto e sistema dinamico associato.** Il potenziale efficace è

$$V_{\text{eff}}(\rho) = \alpha \log(1 + \rho^2) + \frac{L^2}{2\rho^2},$$

quindi l'equazione del moto è semplicemente

$$\ddot{\rho} = \frac{L^2}{\rho^3} - \frac{2\alpha\rho}{1 + \rho^2}.$$

Il sistema dinamico associato è quindi

$$\begin{cases} \dot{\rho} = y, \\ \dot{y} = \frac{L^2}{\rho^3} - \frac{2\alpha\rho}{1 + \rho^2}. \end{cases}$$

**3.2. Punti d'equilibrio e stabilità.** I punti d'equilibrio sono i punti  $(\rho_0, 0)$  con  $V_{\text{eff}}'(\rho_0) = 0$ , pertanto il problema si riduce alla ricerca delle soluzioni reali positive dell'equazione

$$2\alpha\rho^2 - L^2(\rho^2 + 1) = 0.$$

Per  $\alpha = 0$  si ha  $V_{\text{eff}}'(\rho) = 0$  se e solo se  $L = 0$  e in tal caso si ha equilibrio (stabile) per ogni  $\rho_0 \in \mathbb{R}$ , altrimenti non esistono punti d'equilibrio.

Per  $\alpha < 0$  di nuovo il sistema non ammette punti d'equilibrio. Infatti in questo caso  $2\alpha\rho^2 - L^2(\rho^2 + 1) < 0$  per ogni scelta del momento angolare.

Infine per  $\alpha > 0$  si ha un solo punto d'equilibrio  $(0, \rho_0)$  con

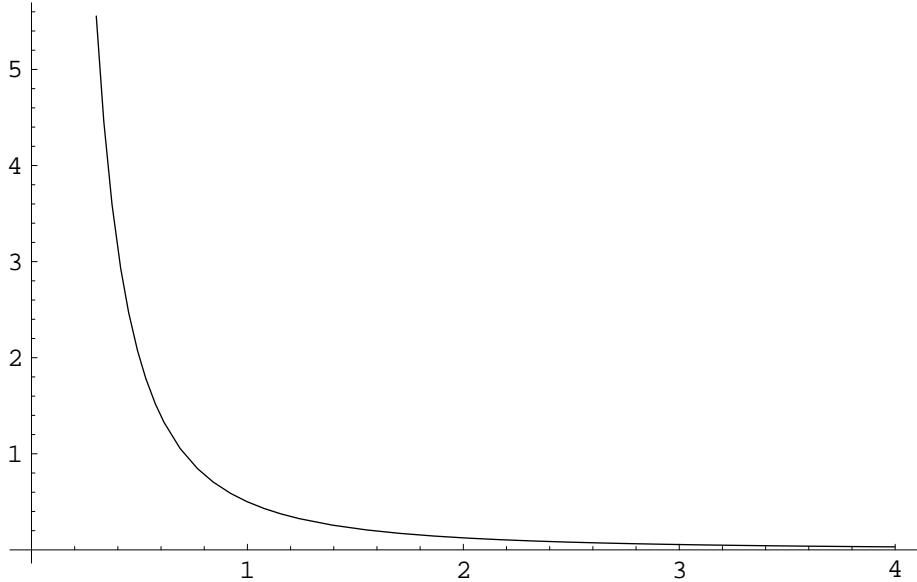
$$\rho_0 = \sqrt{\frac{L^2 + \sqrt{L^4 + 8\alpha L^2}}{4\alpha}}.$$

Inoltre si verifica facilmente che in tal caso il punto è stabile trattandosi di un punto di minimo isolato per il potenziale efficace.

**3.3. Grafico del potenziale efficace.** Intanto, se  $\alpha = L = 0$  il potenziale efficace sarà costituito dalla semiretta  $\{(\rho, 0), \rho > 0\}$ , mentre se  $\alpha = 0, L^2 \neq 0$  il grafico del potenziale efficace è rappresentato in Figura 7.

Se  $\alpha < 0$  si ha

$$\lim_{\rho \rightarrow 0} V_{\text{eff}}(\rho) = +\infty, \quad \lim_{\rho \rightarrow +\infty} V_{\text{eff}}(\rho) = -\infty,$$



**Figura 7.** Potenziale efficace per  $\alpha = 0$  e  $L^2 \neq 0$ .

mentre per  $\alpha > 0$  si ha

$$\lim_{\rho \rightarrow 0} V_{\text{eff}}(\rho) = +\infty, \quad \lim_{\rho \rightarrow +\infty} V_{\text{eff}}(\rho) = +\infty,$$

Il grafico del potenziale efficace nei due casi è rappresentato in Figura 8 e Figura 9 rispettivamente.

**3.4. Piano delle fasi.** Studiamo le curve di livello

$$\Gamma_E = \left\{ (\rho, y) \in \mathbb{R}_+ \times \mathbb{R} : \frac{1}{2}y^2 + V_{\text{eff}}(\rho) = E \right\}$$

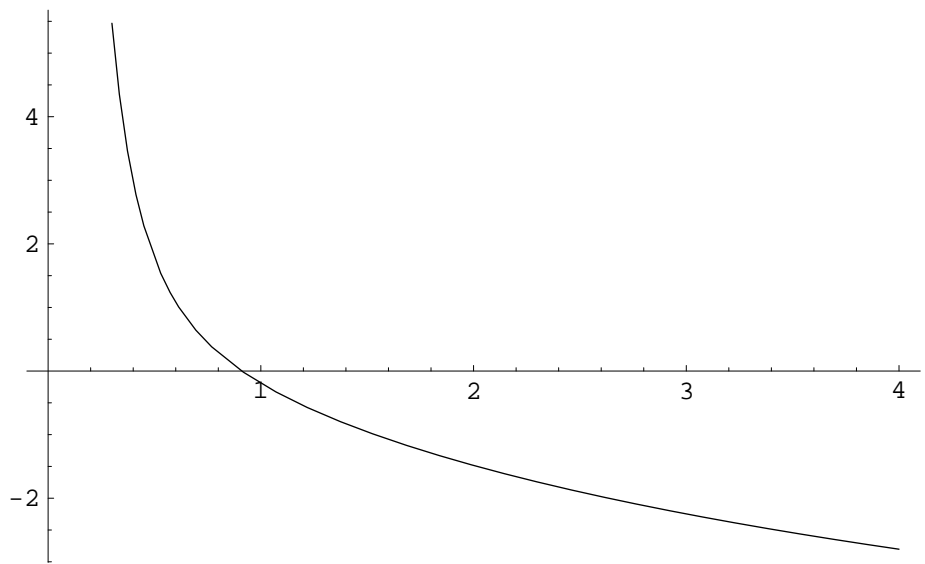
dell'energia del sistema. Poiché  $\Gamma_E$  è simmetrica rispetto all'asse  $\rho$ , è sufficiente studiarla nel semipiano superiore  $y \geq 0$ . Inoltre i versi di percorrenza delle orbite saranno, in tale semipiano, sempre da sinistra a destra poiché  $\dot{\rho} = y \geq 0$ . Definiamo

$$F(\rho) = \sqrt{2(E - V_{\text{eff}}(\rho))}.$$

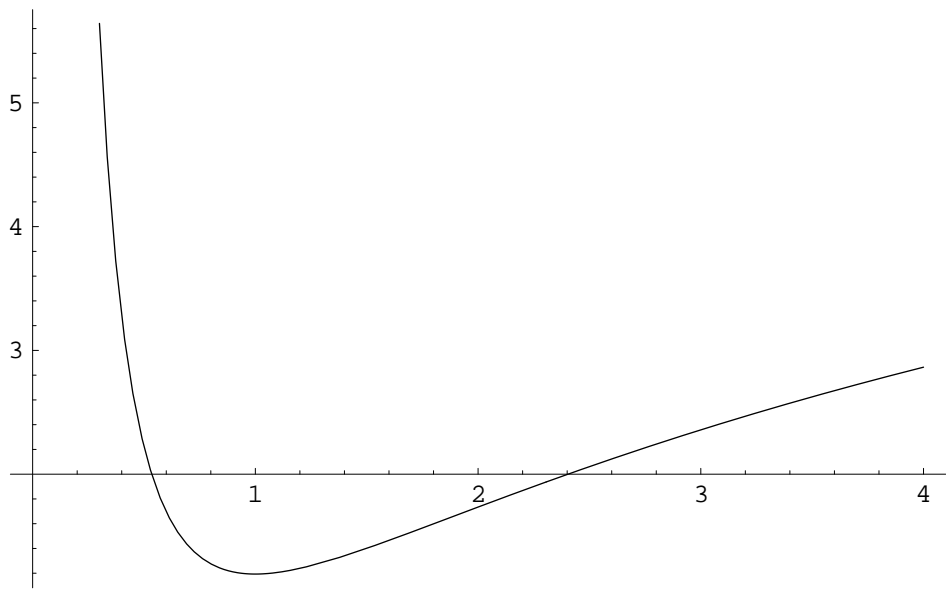
**caso 1.** Se  $\alpha = 0$  e  $L \neq 0$ , per ogni valore fissato di  $E > 0$  la funzione  $F(\rho)$  è definita per  $\rho \geq \rho_E$ , dove  $\rho_E$  è l'unica radice di  $E - V_{\text{eff}}(\rho) = 0$ . In  $\rho = \rho_E$  si ha  $F'(\rho_E) = -\infty$ , quindi la curva di livello  $\Gamma_E$  in  $\rho = \rho_E$  ha tangente verticale.

**caso 2.** Se  $\alpha < 0$  allora per ogni valore fissato (senza restrizioni) di  $E$  la funzione  $F(\rho)$  è definita per  $\rho \geq \rho_E$ , dove  $\rho_E$  è l'unica radice di  $E - V_{\text{eff}}(\rho) = 0$ . In  $\rho = \rho_E$  si ha  $F'(\rho_E) = -\infty$ , quindi la curva di livello  $\Gamma_E$  in  $\rho = \rho_E$  ha tangente verticale.

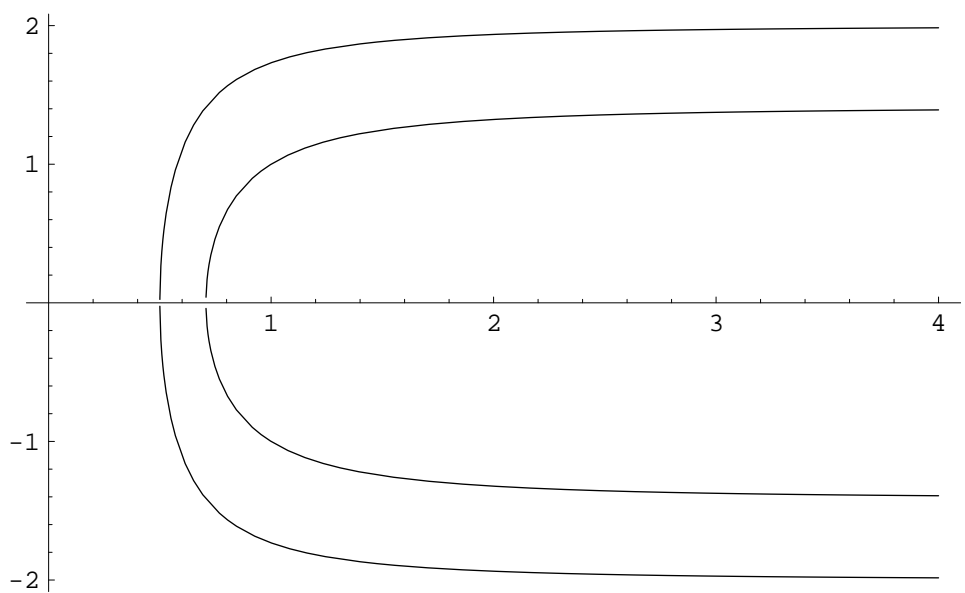
**caso 3.** Se  $\alpha > 0$  allora per ogni valore fissato  $E \geq V_{\text{eff}}(\rho_0)$   $\Gamma_E$  è una curva chiusa che interseca l'asse  $\rho$  nei due punti  $\rho_E^1$  e  $\rho_E^2$ . Tale curva è una curva regolare simmetrica rispetto all'asse  $\rho$ : in particolare la tangente alla curva in  $\rho = \rho_E^1$  e in  $\rho = \rho_E^2$  è verticale, e in  $\rho = \rho_0$  è orizzontale. La traiettoria che ha supporto in  $\Gamma_E$  è periodica.



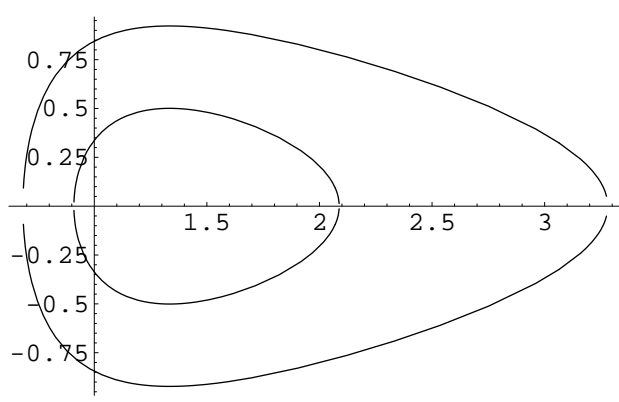
**Figura 8.** Potenziale efficace per  $\alpha < 0$ .



**Figura 9.** Potenziale efficace per  $\alpha > 0$ .



**Figura 10.** Piano delle fasi per  $\alpha = 0$ ,  $L \neq 0$ .



**Figura 11.** Piano delle fasi per  $\alpha > 0$ .